

## บทที่ 2 ทฤษฎีและงานวิจัยที่เกี่ยวข้อง

งานวิจัยในครั้งนี้มีจุดมุ่งหมายเพื่อออกแบบและสร้างเครื่องผลิตน้ำร้อนพลังงานแสงอาทิตย์แบบแผ่น เริ่มนโดยใช้อุปกรณ์เป็นสารแลกเปลี่ยนความร้อน โดยที่เครื่องผลิตน้ำร้อนที่ใช้ในการวิจัยมีหลักการของระบบ คือ แรงรับรังสีอาทิตย์จะถูกกลืนรังสีอาทิตย์แล้วเปลี่ยนเป็นพลังงานความร้อน จากนั้นจะส่งถ่ายความร้อนไปยังสารละลายอุปกรณ์ที่ให้พลอยู่ภายในแรงรังสีอาทิตย์นั้นสารอุปกรณ์เดื่อด เป็นไอ ให้พลอยู่ภายในระบบไปถ่ายเทความร้อนให้กับน้ำภายในถังเก็บ และจะเกิดการควบแน่น กล้ายเป็นของเหลว ให้กลับเข้าถังพักสารอุปกรณ์จากนั้นก็จะให้พลอยู่ภายในแรงรังสีอาทิตย์ เกิดการ ให้พลอยู่ภายในระบบผลิตน้ำร้อน ได้ศึกษาทฤษฎีและงานวิจัยที่เกี่ยวข้องดังนี้

### 2.1 กระบวนการผลิตน้ำร้อนโดยใช้พลังงานแสงอาทิตย์

กระบวนการผลิตน้ำร้อน [2] โดยใช้พลังงานแสงอาทิตย์ มีแรงรับพลังงานแสงอาทิตย์ (Solar Collector) โดยนิยามเปรียบเสมือนวัตถุค่า คือวัตถุที่มีคุณสมบัติที่ดูด และส่งพลังงานโดยการแพร่รังสี ได้ โดยไม่คำนึงถึงความยาวคลื่น และทิศทางของรังสีที่มาต่อกันแรงรับพลังงานแสงอาทิตย์จะ ถูกกลืนพลังงานของคลื่นที่มากระแทกไว้หมด ซึ่งความเป็นจริงแล้วจะไม่สามารถหัววัตถุชนิดนี้ได้ ออย่างไรก็ได้วัตถุบางอย่างที่มีคุณสมบัติดังนิยามที่กล่าวมาแล้วซึ่งพอจะสมนูห์ว่าเป็นวัตถุค่าได้ คุณสมบัติของแรงรับพลังงานแสงอาทิตย์ที่ดีในการส่งพลังงาน ความร้อนจากนิยาม วัตถุค่าจะเป็น วัตถุที่ส่งพลังงาน โดยการแพร่รังสีได้มากที่สุด วัตถุใดที่ถูกกลืนพลังงานความร้อนได้ดี ก็จะมี คุณสมบัติในการส่งพลังงานความร้อนได้ดีว่ายเช่นกัน เมื่อพลังงานแสงอาทิตย์ตกกระทบ แรงรับ พลังงานแสงอาทิตย์ ก็จะถูกกลืนพลังงานนี้ไว้แล้วถ่ายเทความร้อนที่ได้รับให้กับสารตัวกลางซึ่ง ณ ที่นี่ใช้อุปกรณ์แลกเปลี่ยนความร้อน ( Heat Exchanger )

#### 2.1.1 การถ่ายเทความร้อนโดยการพา (Convection Heat Transfer)

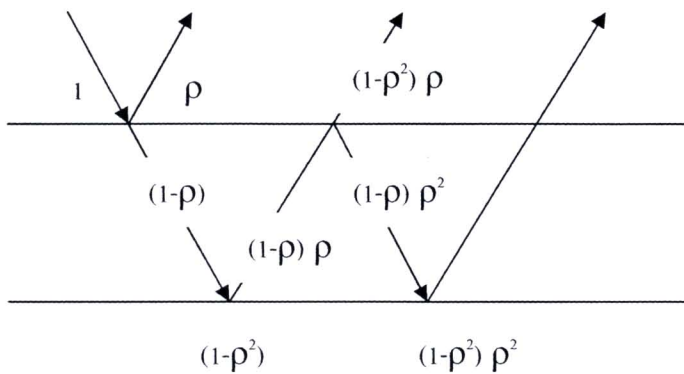
เมื่อของให้พลังงานผ่านวัตถุที่มีอุณหภูมิแตกต่างกัน ก็จะมีการแลกเปลี่ยนพลังงานความร้อน ระหว่างของให้พลังงาน บนวันการแลกเปลี่ยนความร้อนนี้เรียกว่า การถ่ายเทความร้อนโดยการพา หรือการพาความร้อน บนวันการพาความร้อนดังกล่าวจะสามารถใช้คำนวณหาอัตราการพาความร้อน จากส่วนต่างๆ ของระบบ ซึ่งเป็นส่วนสำคัญของระบบที่ใช้ให้ความร้อนและระบบระบายความร้อน การถ่ายเทความร้อนโดยการพาที่สามารถแบ่งออกได้เป็น 2 ลักษณะคือ

การพาราความร้อนแบบอิสระ คือแรงที่ทำให้ของไหหลเกิดการเคลื่อนไหวของการพาราความร้อนแบบอิสระนั้น เกิดจากความแตกต่างของอุณหภูมิในของไหหลที่เกิดเนื่องมาจากการของไหหลสัมผัสกับผิวของวัตถุที่มีอุณหภูมิแตกต่างกัน จนทำให้เกิดการลอกยตัวขึ้น ตัวอย่างของการพาราความร้อนแบบอิสระนี้ เช่น การพาราความร้อนภายในภาชนะด้านใน ช่วงแรกจะเพิ่มขึ้นตามระยะห่างจากผิวของวัตถุ ทั้งนี้ เพราะความหนืดที่ลดน้อยลงอย่างรวดเร็ว ในขณะเดียวกันความแตกต่างของความหนาแน่นก็ลดน้อยลง โดยปกติแล้วแรงลอกยตัวจะลดน้อยลงในขณะที่ความหนาแน่นของของไหหลค่อยๆ เพิ่มเข้าสู่ความหนาแน่นของของไหหลที่อยู่ร้อนๆ เป็นผลให้ของไหหลมีความเร็วสูงสุดและลดลงจนเป็นศูนย์เมื่อห่างออกไปจากผิวที่ร้อน

การพาราความร้อนแบบบังคับ จะเกิดขึ้นเมื่อมีแรงภายนอกมาบังคับให้ของไหหลเคลื่อนที่ผ่านวัตถุที่ร้อนหรือเย็นกว่า เนื่องจากการไหหลของของไหหลในการพาราความร้อนแบบบังคับมีความเร็วที่สูงกว่าแบบอิสระ ดังนั้นถ้าหากมีความแตกต่างของอุณหภูมิขนาดเท่าๆ กันแล้ว การพาราความร้อนแบบบังคับจะมีอัตราการพาราความร้อนที่สูงกว่าแบบอิสระ ความแตกต่างของการพาราความร้อนแบบบังคับและแบบอิสระก็คือ ความเร็วของของไหหลในการพาราความร้อนแบบบังคับนั้นเกิดจากแรงภายนอกกระทำ

สัมประสิทธิ์การพาราความร้อนจะขึ้นอยู่กับความหนาแน่น ความหนืด และความเร็วของของไหหลรวมทั้งขึ้นอยู่กับคุณสมบัติทางความร้อนต่างๆ เช่น ค่าการนำความร้อน  $k$  และค่าความร้อนจำเพาะ  $C_p$  ในการพาราความร้อนแบบบังคับนั้น ความเร็วของของไหหลในระบบนั้น จะถูกกระทำด้วยปั๊มหรือพัดลม แต่สำหรับความเร็วของของไหหลที่ใช้พาราความร้อนแบบอิสระนั้น จะขึ้นอยู่กับความแตกต่างของอุณหภูมิระหว่างผิววัตถุกับของไหหล สัมประสิทธิ์การขยายตัวของของไหหล แรงดึงดูดของโลก เป็นต้น กระบวนการการทำน้ำร้อน โดยใช้พลังงานแสงอาทิตย์ แพร่รับพลังงานแสงอาทิตย์ (Solar Collector) โดยนิยามเบรียบนวัตถุคำ คือวัตถุที่มีคุณสมบัติที่ดูดและส่งพลังงานโดยการแพร่รังสีได้ดี โดยไม่คำนึงถึงความยาวคลื่น และทิศทางของรังสีที่มาต่อกระแทบแพร่รับพลังงานแสงอาทิตย์จะดูดกลืนพลังงานของคลื่นที่มากระแทบไว้หมด ซึ่งตามความเป็นจริงแล้วจะไม่สามารถหาวัตถุชนิดนี้ได้ อย่างไรก็ได้วัตถุบางอย่างที่มีคุณสมบัติดังนิยามที่กล่าวมาแล้วซึ่งพอจะสมนูติว่าเป็นวัตถุคำได้ คุณสมบัติของแพร่รับพลังงานแสงอาทิตย์ที่ได้ในการส่งพลังงาน ความร้อนจากนิยาม วัตถุคำจะเป็นวัตถุที่ส่งพลังงานโดยการแพร่รังสีได้มากที่สุด วัตถุใดที่ดูดกลืนพลังงานความร้อนได้ดี ก็จะมีคุณสมบัติในการส่งพลังงานความร้อนได้ดีด้วยเช่นกัน เมื่อพลังงานแสงอาทิตย์ตกกระแทบ แพร่รับพลังงาน แสงอาทิตย์ ก็จะดูดกลืนพลังงานนี้ไว้แล้วถ่ายเทความร้อนที่ได้รับให้กับสารตัวกลาง ซึ่ง ณ ที่นี่ใช้น้ำเป็นสารตัวกลาง ในการพาราความร้อนจากแพร่รับพลังงานแสงอาทิตย์ ส่งผ่านไปยังอุปกรณ์แลกเปลี่ยนความร้อน (Hart Exchanger) กระบวนการนี้จะเป็นการพาราความร้อนโดยปั๊มฟอง (Bubble Pump) อาศัยสารทำงานเป็นอุทานอด ระบบนี้จะใช้หลักการพาราความร้อนตามธรรมชาติระหว่างแพร่รับ

พลังงานแสงอาทิตย์กับอุปกรณ์แลกเปลี่ยนความร้อน อัตราการหมุนเวียนของน้ำในกระบวนการทำน้ำร้อน โดยใช้พลังงานแสงอาทิตย์นี้จะต้องขึ้นอยู่กับการคูดกลืนพลังงานแสงอาทิตย์ที่แพร่รับพลังงานแสงอาทิตย์ได้รับและอัตราถ่ายเทพลังงาน ความร้อนให้กับสารตัวกลางในระบบ แพร่รับพลังงานแสงอาทิตย์ จะมีแผ่นกันอยู่ด้านบน ระหว่างดวงอาทิตย์กับแผ่นคูดกลืนพลังงานแสงอาทิตย์ ส่วนด้านล่าง ๆ จะบุดดวยจำนวนกันความร้อน ดังนี้ รังสีของดวงอาทิตย์ที่ตกกระทบ ยังแผ่นคูดกลืนพลังงานแสงอาทิตย์ได้ จะต้องผ่านแผ่นกันซึ่งเป็นวัสดุโปร่งแสงหรือกระจกเสียก่อน



รูปที่ 2.1 การตกกระทบของรังสี [3]

จากรูปที่ 2.1 จะเห็นได้ว่าถ้าให้รังสีตกกระทบมีค่า 1 หน่วย เมื่อตกกระทบกับแผ่นกันรังสีจะแยกออกเป็น 2 ส่วน คือ ส่วนหนึ่งจะสะท้อนกลับ  $\rho$  ไปยังบรรยากาศ เป็นรังสีส่วนที่ไม่มีประโยชน์อีก ส่วนหนึ่งจะทะลุผ่าน  $(1-\rho)$  แผ่นกันมาแล้วตกกระทบบนแผ่นคูดกลืนพลังงานแสงอาทิตย์ ปรากฏการณ์ที่เกิดขึ้นที่แผ่นคูดกลืนพลังงานแสงอาทิตย์นี้ ก็เป็นเช่นเดียวกับที่เกิดขึ้นที่แผ่นกันคือ ส่วนที่มีประโยชน์ คือ  $(1-\rho^2)$  ส่วนที่สะท้อนกลับคือ  $(1-\rho)$  ปรากฏการณ์ของรังสีที่สะท้อนกลับไปจากแผ่นคูดกลืนพลังงานแสงอาทิตย์จะไปกระทบกับแผ่นกัน และสะท้อนกลับมาอีกเป็นเช่นนี้ไปเรื่อย ๆ ผลรวมของรังสีที่ผ่านแผ่นคูดกลืนพลังงานแสงอาทิตย์มาคือ พลังงานความร้อนที่นำไปใช้ประโยชน์นั้นเอง ซึ่งเป็นอยู่ในรูปของสมการได้ คือ

$$\text{tr,1} = (1-\rho)^2 \sum_{n=0}^{\alpha} \rho^{2n} \quad (2.1)$$

$$= (1-\rho)^2 / (1-\rho^2)$$

$$= (1/\rho\rho'/(1+\rho)) \quad (2.2)$$

จากสมการ จะสามารถใช้ได้สำหรับในแต่ละชนิดของรังสี (Polarized) กรณีที่เป็น Nonpolarized ให้ใช้ค่าเฉลี่ยแทน

### 2.1.2 คุณสมบัติการแพร่รังสี (Radiation Properties )

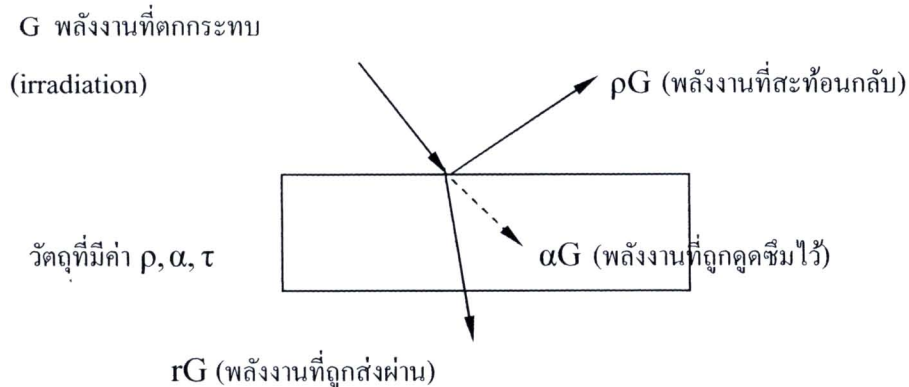
คุณสมบัติการแพร่รังสี [2] เป็นคุณสมบัติที่แสดงให้ทราบว่าพลังงานจากการแพร่รังสีจะมีปฏิกิริยาต่อผิวของวัตถุอย่างไร โดยเฉพาะอย่างยิ่งจะบอกให้ทราบว่าผิวของวัตถุสามารถที่จะแพร่สะท้อนและส่งพลังงานจากการแพร่รังสีผ่านวัตถุนั้นได้มากเท่าไร

โดยทั่วไปแล้วคุณสมบัติการแพร่รังสีจะเป็นฟังก์ชันของความยาวคลื่น เช่นผิวนี้จะเป็นตัวสะท้อนรังสีที่ดีเมื่อรังสีนั้นอยู่ในช่วงของความยาวคลื่นที่มองเห็นได้ แต่ถ้ารังสีนั้นอยู่ในช่วงของรังสีอินฟราเรด แล้วผิวนี้ก็กลับกลายเป็นตัวสะท้อนรังสีที่เลว คุณสมบัติที่บอกให้ทราบว่าผิวมีพฤติกรรมเชิงฟังก์ชัน ต่อความยาวคลื่นอย่างไรนั้นเรียกว่า “คุณสมบัติโมโนโครแมติก” (Monocromatic Properties) หรือ “คุณสมบัติสเปกตรัม” (Spectral Properties) นอกจากนี้คุณสมบัติการแพร่รังสียังเป็นฟังก์ชันของทิศทางที่พลังงานจากการแพร่รังสีไปตกกระทบบนผิววัตถุนั้นอีกด้วย คุณสมบัติที่บอกให้รู้ว่าการกระจายของพลังงานแปรตามมุมอย่างไรนั้นเรียกว่า “คุณสมบัติเชิงทิศทาง” Directional Properties ถ้าหากต้องการทราบอุณหภูมิของผิววัตถุด้วยการสมดุลพลังงานของผิวแล้ว ก็จะต้องทราบคุณสมบัติของการแพร่รังสีของผิววัตถุนั้นและของผิวอื่นๆ ที่มีการแตกเปลี่ยนพลังงานกัน แต่ถึงแม้ว่าจะรู้คุณสมบัติสเปกตรัมและคุณสมบัติเชิงทิศทางของผิวทุกผิวแล้วก็ตาม ก็ยังคงต้องมีการวิเคราะห์รวมอยู่ด้วยอย่างขาดไม่ได้ ญูหาที่ซับซ้อน และเป็นปัญหาที่ขาดรายละเอียดทางด้านคุณสมบัติการแพร่รังสีอย่างสิ้นเชิง นั้นควรจะหาวิธีแก้ปัญหาอย่างง่ายๆ ซึ่งก็ทำได้ด้วยการใช้ค่าเฉลี่ยของคุณสมบัติการแพร่รังสีจากทุกความยาวคลื่นและทิศทางคุณสมบัติที่เฉลี่ยมาจากทุกความยาวคลื่น และทุกทิศทางนี้มีชื่อเรียกว่า “คุณสมบัติรวม” (total properties) คุณสมบัติรวมที่ใช้ในการวิเคราะห์การถ่ายเทความร้อนจากการแพร่รังสีนั้นจะให้คำตอบที่ถูกต้องเพียงพอสำหรับการใช้งานทางด้านวิศวกรรมและสามารถลดความซับซ้อนของปัญหาลง จนกลายเป็นปัญหาง่ายๆ ได้

### 2.1.3 คุณสมบัติการแพร่รังสีรวม (Total Radiation Properties)

ให้พิจารณาเรื่องสีของพลังงานความร้อนรวมจากการแพร่รังสีที่มาตกกระทบบนผิววัตถุ พลังงานความร้อนรวมที่มาตกกระทบนี้ หมายถึงพลังงานความร้อนรวมจากการแพร่รังสีที่ส่องมาในทุกทิศทางจะมาจากการแหล่งที่เป็นตัวกำหนดความร้อนเอง หรือไม่เป็นแหล่งกำหนดความร้อนเอง (Irradiation) ก็ได้ซึ่งในที่นี้จะใช้  $G$  เป็นสัญลักษณ์ เมื่อพลังงานรวมจากการแพร่รังสีนี้มาตกกระทบลงบนผิวของวัตถุก็จะมีพลังงานบางส่วนถูกวัตถุนั้นดูดซึมเอาไว้ บางส่วนจะสะท้อนออกไปส่วนที่เหลือจะถูกส่ง返อกไปจากวัตถุก้อนนั้น คุณสมบัติการแพร่รังสีทั้งสามที่บอกให้ทราบว่าพลังงานที่ตกกระทบบนนั้นถูกแจกจ่าย

ไปในทางใดบ้างนั้นก็คือค่าการดูดซึมรังสี (Absorptivity) ค่าการสะท้อนรังสี (Reflectivity) และค่าการส่งผ่านรังสี (Transmissivity)



รูปที่ 2.2 นิยามของคุณสมบัติการแพร่รังสีรวม [2]

จากรูปที่ 2.2 ค่าการดูดซึมรังสี  $\alpha$  ของผิวเป็นอัตราส่วนของพลังงานที่ถูกวัตถุดูดซึมเอาไว้กับพลังงานที่ตกกระทบ ค่าการสะท้อนรังสี  $\rho$  ของผิวเป็นอัตราส่วนของพลังงานที่ถูกสะท้อนกลับกับพลังงานที่ตกกระทบ และค่าการส่งผ่านรังสี  $\tau$  ก็เป็นอัตราส่วนของพลังงานที่ถูกส่งผ่านออกไปกับพลังงานที่ตกกระทบ จะเห็นได้ว่าถ้าหากทำการสมดุลพลังงานบนวัตถุที่อยู่ในรูปแล้ว พลังงานที่ตกกระทบ  $G$  นี้ ก็จะต้องเท่ากับพลังงานของพลังงานที่ถูกดูดซึมเอาไว้กับพลังงานที่ถูกสะท้อนกลับ และพลังงานที่ถูกส่งผ่านออกไป ดังนั้นมีเปลี่ยนเป็นสมการคณิตศาสตร์แล้วก็จะได้ว่า

$$\alpha G + \rho G + \tau G = G \quad (2.3)$$

หรือเขียนสั้น ๆ ว่า

$$\alpha + \rho + \tau = 1 \quad (2.4)$$

ในกรณีของวัตถุที่มีลักษณะทึบแสงนั้น พลังงานที่ตกกระทบจะไม่สามารถผ่านหรือส่งผ่านไปได้เลย ดังนั้นผิวของวัตถุทึบแสงก็จะมีค่าการส่งผ่านรังสี

$$\tau = 0$$

ฉะนั้นในกรณีของวัตถุทึบแสง สมการ (2.4) ก็จะเหลือเพียง

$$\alpha + \rho = 1 \quad (2.5)$$

ส่วนผิวของวัตถุที่เป็นตัวสะท้อนแสงหรือสะท้อนรังสีที่สมบูรณ์ (Perfect Reflector) นั้นจะมีค่าการสะท้อนรังสี

$$\rho = 1.0$$

และการสมดุลพลังงานบนผิววัตถุที่สามารถสะท้อนรังสีได้สมบูรณ์นี้ ก็จะได้ค่า

$$\tau = \alpha = 0 \quad (2.6)$$

วัตถุคำเป็นวัตถุที่สามารถดูดซึมพลังงานที่มาจากการทุกประบบได้มากที่สุด หรือมีค่า :

$$\alpha = 1.0$$

ดังนั้นในกรณีของวัตถุคำก็จะมีค่า

$$\tau = \rho = 0 \quad (2.7)$$

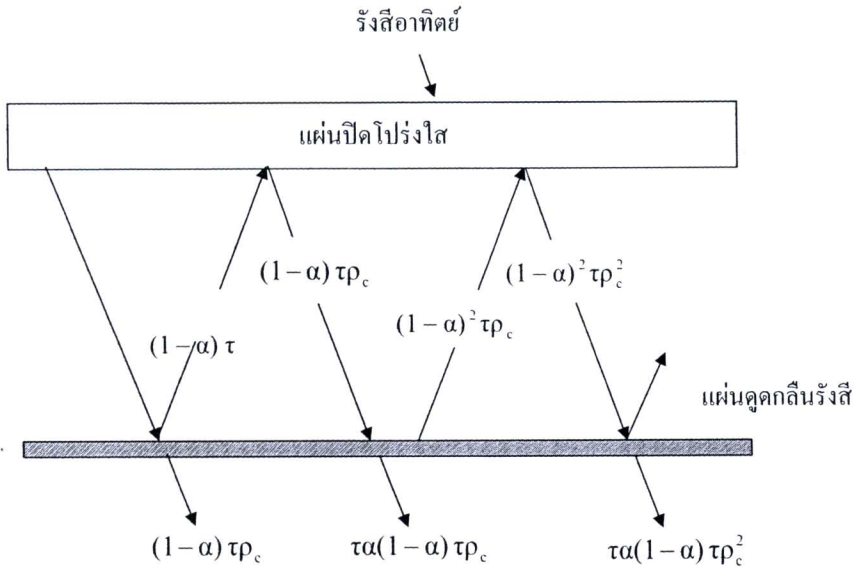
คุณสมบัติการแพร่รังสีที่สำคัญอีกคุณสมบัติหนึ่งก็คือ ค่าการแพร่รังสี (Emissivity) ของวัตถุค่าการแพร่รังสีของวัตถุใด ๆ ก็คืออัตราส่วนของพลังงานจากการแพร่รังสีที่แพร่ออกจากวัตถุนั้นกับพลังงานจากการแพร่รังสีที่แพร่ออกจากวัตถุคำเมื่อวัตถุทั้งสองมีอุณหภูมิเท่าๆ กัน ดังนั้นค่าการแพร่รังสีตามความหมายทางคณิตศาสตร์ก็จะเป็น

$$\varepsilon = \frac{E}{Eb} = \frac{E}{\sigma T^4} \quad (2.8)$$

ในบรรดาวัตถุที่มีอุณหภูมิเท่า ๆ กันนั้นวัตถุคำจะสามารถแพร่รังสีได้มากที่สุด ดังนั้นค่าการแพร่รังสีของวัตถุต่าง ๆ จึงมีค่าอยู่ในช่วง 0 กับ 1 เสมอ และเมื่อผิววัตถุเป็นผิวของวัตถุคำแล้ววัตถุนั้นก็จะมีค่า  $E = Eb$  และมีค่า  $\varepsilon = \alpha = 1.0$

#### 2.1.4 การส่งผ่านและดูดกลืนรังสีอาทิตย์

เมื่อรังสีอาทิตย์ตกกระทบบนแผ่นปิดโลปร่างแสง ค่ารังสีอาทิตย์บางส่วนจะทะลุผ่านแผ่นปิดโลปร่างแสงซึ่งมีค่าดูดรังสี ( $\alpha$ ) และเมื่อรังสีอาทิตย์กระทบกับผิววัตถุค้านล่างรังสีอาทิตย์ บางส่วนจะถูกดูดกลืน  $\tau(\alpha)$  และบางส่วนจะสะท้อนกลับไปที่แผ่นปิดโลปร่างแสง  $(1 - \alpha)\tau$  ซึ่งจะเป็นการสะท้อนกลับไปกลับมา



รูปที่ 2.3 Absorption of solar radiation by Absorber plate under a cover system [4]

ดังนั้นมีอนามัยณะระหว่างค่าการส่งผ่านรังสีกับค่าการคูดกลืนรังสีจะได้สมการ

$$\tau\alpha = \frac{\tau\alpha}{1 - (1-\alpha)\rho_c} \approx 1.01\tau\alpha \quad (2.9)$$

เมื่อ

$\tau$  คือ ค่าสภาพส่งผ่าน (transmissivity) ของกระจก มีค่าประมาณ 0.85

$\alpha$  คือ ค่าสภาพคูดกลืน (adsorptivity) ของผิวสีดำด้าน มีค่าประมาณ 0.96

$\rho_c$  คือ ค่าสะท้อนรังสีอาทิตย์

เนื่องจากการคูดกลืนรังสีอาทิตย์ในแผ่นปิดไปร่องแสง จะทำให้อุณหภูมิของแผ่นปิดไปร่องแสงสูงขึ้น ทำให้การสูญเสียความร้อนจากแผ่นคูดรังสีอาทิตย์ลดลง ดังนั้นผลคูณของค่าส่งผ่านลบค่าคูดกลืนรังสีอาทิตย์มีค่าสูงขึ้น ซึ่งเรียกว่า ผลคูณประสิทธิผลของค่าส่งผ่านลบค่าคูดกลืนรังสี (Effective Transmittance – absorption Product,  $(\tau\alpha)_e$ ) ค่า  $(\tau\alpha)_e$  จะสูงกว่า  $(\tau\alpha)$  ประมาณ 1-2% สำหรับตัวรับรังสีอาทิตย์ทั่วไปที่มีแผ่นปิดไปร่องแสง 1 ชั้น และ 2% สำหรับตัวรับรังสีอาทิตย์ทั่วไปที่มีแผ่นปิดไปร่องแสง 2 ชั้น

ค่าประสิทธิผลของการส่งผ่านและคุณลักษณะในการแผ่นปิดไปร่องแสงเป็นกระจก สำหรับตัวรับรังสีอาทิตย์ที่ใช้กระจกธรรมชาติจะมีค่าประมาณ

$$(\tau\alpha)_e \approx 1.02(\tau\alpha)$$

และสำหรับตัวรับรังสีอาทิตย์ที่ไม่คิดการคุณลักษณะที่แผ่นปิดไปร่องแสง

$$(\tau\alpha)_e \approx 1.01(\tau\alpha)$$

### 2.1.5 สมการสมดุลพลังงานที่แห่งรับพลังงานแสงอาทิตย์แบบแผ่นราน

เมื่อพิจารณาที่แห่งรับพลังงานแสงอาทิตย์ [5] พลังงานที่เข้าสู่แผงคือ พลังงานแสงอาทิตย์ซึ่งจะมีทั้ง พลังงานแสงอาทิตย์โดยตรงและโดยการกระจาย พลังงานแสงอาทิตย์บางส่วนจะถูกคุณลักษณะเก็บไว้ใน แผ่นคุณลักษณะพลังงานแสงอาทิตย์  $Q_m$  พลังงานแสงอาทิตย์บางส่วนก็จะสูญเสียออกไป  $Q_L$  และ พลังงานแสงอาทิตย์ที่ถูกคุณลักษณะไว้บางส่วนก็สามารถนำมาใช้ประโยชน์  $Q_u$  ซึ่งเขียนในรูปสมการ ได้ดังนี้

$$A_c(HR(\tau^\alpha)) = Q_u + Q_L + Q_m \quad (2.10)$$

เมื่อ  $H$  คือ พลังงานแสงอาทิตย์เนื่องจากการแพร่รังสีทั้งหมด ที่ตกกระทบบนผิวโลก ณ ที่ตำแหน่งที่แห่งรับพลังงานแสงอาทิตย์นั้นๆ ของอยู่

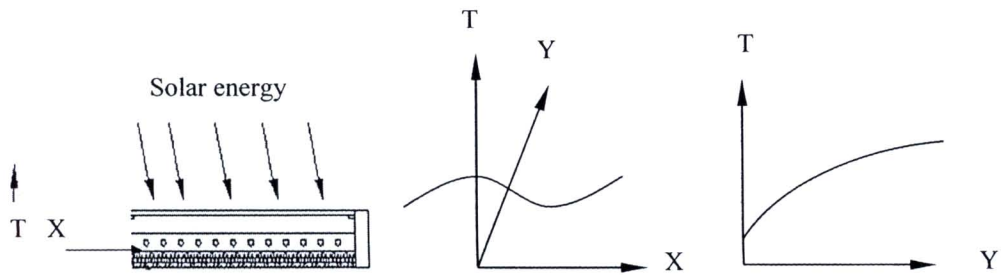
$R$  คือ อัตราส่วนของพลังงานแสงอาทิตย์ที่มาตกกระทบบนแห่งรับพลังงานแสงอาทิตย์ ต่อพลังงานเนื่องจากการแพร่รังสีทั้งหมด ( $H$ )

$(\tau^\alpha)$  คือ ผลคูณของค่าการส่งผ่านของแผ่นกัน กับค่าการคุณลักษณะของแผ่นคุณลักษณะพลังงาน แสงอาทิตย์

$A_c$  คือ พื้นที่ของแผ่นคุณลักษณะพลังงานแสงอาทิตย์

การบ่งบอกคุณภาพของแห่งรับพลังงานแสงอาทิตย์ จะใช้เกณฑ์ประสิทธิภาพของแห่งรับพลังงานแสงอาทิตย์ ( $\eta$ ) ซึ่งมีนิยามคือ อัตราส่วนของพลังงานแสงอาทิตย์ที่สามารถนำมาใช้ประโยชน์ได้ ( $Q_u$ ) ต่อ พลังงานแสงอาทิตย์ที่มาตกกระทบ ( $HR(\tau^\alpha)$ )

$$\eta = (Q_u) / A_c(HR(\tau^\alpha)) \quad (2.11)$$



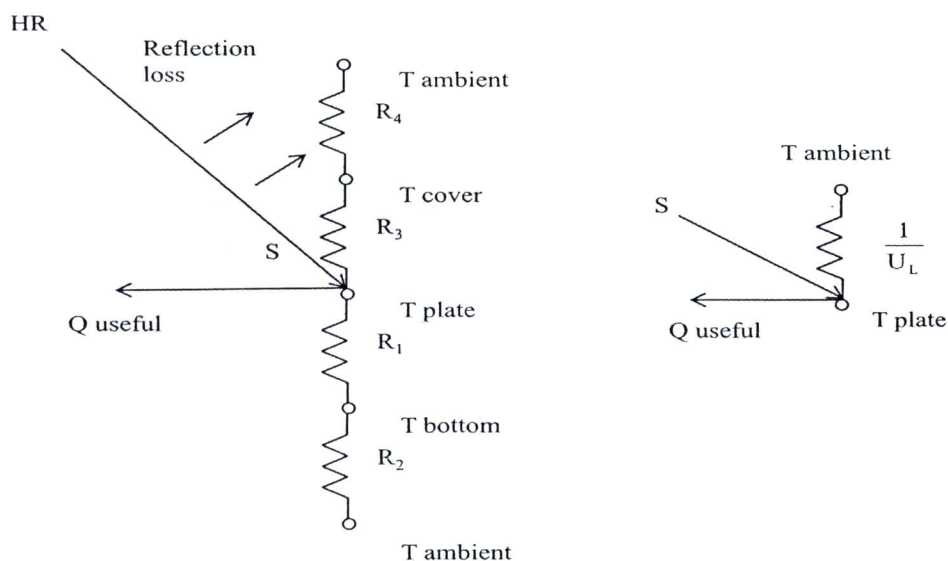
รูปที่ 2.4 การถ่ายเทความร้อนในแผงรับพลังงานแสงอาทิตย์ [5]

การที่อุณหภูมิแผงรับพลังงานแสงอาทิตย์เป็นเช่นนี้ได้มาจากการ สมมุติฐานหลายๆ ประการ ดังนี้

1. โครงสร้างของแผงรับพลังงานแสงอาทิตย์จะประกอบด้วยท่อและครีบ
2. ท่อร่วมที่ปลายทั้งสองข้างจะต้องทำให้เกิดการไหลของของไอลส์ม่าเสนอในทุกๆ ท่อ
3. แผ่นกันจะไม่มีการคุกคักในแผงรับพลังงานแสงอาทิตย์ไว้
4. คุณสมบัติของวัสดุที่ใช้ทำแผงรับพลังงานแสงอาทิตย์จะไม่เข้ากับอุณหภูมิ
5. จะไม่คิดเงาที่มาบดบังแผงรับพลังงานแสงอาทิตย์
6. การไหลของความร้อนในลูปจะมีในทิศทางเดียว
7. ประสิทธิภาพของแผงรับพลังงานแสงอาทิตย์จะมีค่าคงที่เสมอ

### 2.1.6 สัมประสิทธิ์การถ่ายเทความร้อนทั้งหมดของแผงรับพลังงานแสงอาทิตย์

การถ่ายเทพลังงานความร้อนในแผงรับพลังงานแสงอาทิตย์ [4] สามารถเขียนในรูปของความต้านทานทางไฟฟ้า ดังนี้



รูปที่ 2.5 การเปรียบเทียบการถ่ายเทความร้อนในรูปความต้านทานทางไฟฟ้า [4]

ความต้านทานของส่วนต่างๆ ของแพร์บพลังงานแสงอาทิตย์ เมื่อ  $S$  คือ พลังงานแสงอาทิตย์ที่สามารถมากระแทบแพร์บพลังงานแสงอาทิตย์ เนื่องจากอุณหภูมิของแพร์บพลังงานแสงอาทิตย์มีค่าสูงกว่าส่วนอื่นๆ ดังนั้นมีการถ่ายเทพลังงานความร้อนออกมายังด้านบน ด้านข้าง และด้านล่าง ซึ่งปริมาณความร้อนที่ถ่ายเทออกมานี้จะมีมากหรือน้อยขึ้นอยู่กับค่าความต้านทานในแต่ละด้านในการที่จะสามารถทราบค่าสัมประสิทธิ์การถ่ายเทความร้อนทั้งหมด ก่อนอื่นจะต้องทราบค่าความต้านทานความร้อนแต่ละชนิดเสียก่อน ดังนั้นเราจะพิจารณาแต่ละค่าดังนี้



(2.12)

$R_1$	คือ	ความต้านทานของอนุวัน
$R_1$	คือ	$L / k = 1 / U_L$
$L$	คือ	ความหนาของอนุวัน, m.
$k$	คือ	สัมประสิทธิ์การนำความร้อนของอนุวัน, $W / m^2 \cdot ^\circ C$
$U_L$	คือ	สัมประสิทธิ์การสูญเสียความร้อนรวมของตัวรับรังสี, $W/m^2 \cdot ^\circ C$
$R_2$	คือ	ความต้านทานที่ผิวของอนุวันที่บุด้านหลังกับอากาศ รอบๆ ซึ่งมีทั้งการพา และการแผรังสี ในการคำนวณโดยทั่วไปจะถือว่าค่านี้เป็นสูนย์
$R_3$	คือ	จะประกอบด้วยการพาและการแผรังสี ระหว่างแพร์บพลังงานแสงอาทิตย์กับแผ่นกัน ซึ่งปริมาณความร้อนที่ถ่ายเททั้งหมดคือ

$$q = h_{p-c1}(T_p - T_{c1}) + \sigma(T_p^4 - T_{c1}^4) / (1/\varepsilon_p + 1/\varepsilon_c - 1) \quad (2.13)$$

สามารถเขียนในรูปของความต้านทานได้ดังนี้

$$Q/A_c = q = (T_p - T_{c1}) / R_3 \quad (2.14)$$

วัตถุคือเป็นวัตถุที่สามารถดูดซึมพลังงานที่มาจากการกระแทบได้มากที่สุด หรือมีค่า :  $\alpha = 1.0$

ดังนั้นในกรณีของวัตถุคือก็จะมีค่า  $\tau = \rho = 0$

โดยการเปรียบเทียบ จะได้ว่า

$$R_3 = 1 / (h_{p-c1} + h_{r1})$$

เมื่อ  $h_{r1}$  คือ สัมประสิทธิ์การแผรังสี,  $W / m^2 \cdot ^\circ C$

สำนักงานคณะกรรมการวิจัยแห่งชาติ
ที่อยู่สมมติงานวิจัย
วันที่ = 7. ๗. ๒๕๕๕
เลขที่แบบฝึกหัด.....
210398
หมายเหตุ.....
ลงชื่อ.....

(2.15)

$$h_{r1} = \sigma(T_p - T_{c1})(T_p^2 - T_{c1}^2) / (1/\varepsilon_p + 1/\varepsilon_c - 1) \quad (2.16)$$

เมื่อ  $h_{r1}$  คือ สัมประสิทธิ์การพารามิเตอร์ความร้อนระหว่างแพลงงานแสงอาทิตย์ กับแผ่นกันชั้นที่ 1 มีหน่วยเป็น  $\text{W/m}^2 \cdot ^\circ\text{C}$  ซึ่งค่าสัมประสิทธิ์การแผ่รังสี คือ

$$h_{p-c} = \frac{(1 - 0.0018(\bar{T} - 10))1.14(\Delta T)^{0.31}}{1^{0.07}} \quad (2.17)$$

$$h_{r1} = \varepsilon_c \sigma (T_{c1}^4 - T_{sky}^4) / (T_{c1} - T_{sky}) \quad (2.18)$$

เมื่อทราบค่าความด้านทานทั้งหมดทุกตัว ก็จะสามารถหาค่าสัมประสิทธิ์การถ่ายเทความร้อนทั้งหมดได้ ( $U_t$ )

$$U_t = \frac{1}{\sum R} \quad (2.19)$$

## 2.2 การถ่ายเทความร้อนของแพลงงานแสงอาทิตย์ [2]

### 2.2.1 วัตถุดำ (Blackbody)

วัตถุดำ คือ วัตถุที่สามารถดูดกลืนรังสีที่ตกกระทบได้อย่างสมบูรณ์ไม่ว่าที่ช่วงความยาวคลื่นหรือทิศทางใด วัตถุดำเป็นเพียงวัตถุในอุดมคติเท่านั้น วัตถุที่มีอยู่จริงทุกชนิดจะมีการสะท้อนรังสีบางส่วนออกไปเสมอ แม้ว่าวัตถุดำจะไม่มีอยู่จริงในธรรมชาติ แต่ก็มีวัตถุบางอย่างที่มีสมบัติใกล้เคียงกับวัตถุดำ เช่น ถ่านคำ ที่มีลักษณะเป็นชั้นหนาจะสามารถดูดกลืนรังสีความร้อนที่ตกกระทบได้ 99 เปอร์เซ็นต์โดยประมาณ

นิยามของวัตถุดำอีกประการหนึ่งอาจกล่าวได้ว่าเป็นวัตถุที่สามารถแผ่รังสีความร้อนได้อย่างสมบูรณ์ทั้งนี้ เพราะจากการทดลองง่ายๆ จะพบได้ว่าวัตถุที่สามารถแผ่รังสีได้อย่างสมบูรณ์ในขณะเดียวกันจะสามารถดูดกลืนรังสีได้อย่างสมบูรณ์ด้วย วัตถุดำจะดูดกลืนรังสีที่ตกกระทบและคงค้างอยู่ที่อุณหภูมิค่าหนึ่ง ในขณะเดียวกันก็จะปล่อยรังสีในจำนวนเดียวกับที่ดูดกลืนไว้

### 2.2.2 การแผ่รังสีห้องฟ้า

ในการหาค่าสมรรถนะของตัวเก็บรังสีอาทิตย์ จะทำการประเมินการแลกเปลี่ยนการแผ่รังสีระหว่างพื้นผิวและห้องฟ้า ซึ่งห้องฟ้าสามารถพิจารณาคล้ายกับวัตถุดำที่อุณหภูมิห้องฟ้า  $T_s$  การแผ่รังสีสูทธิ์ที่เกิดขึ้นจริงระหว่างตัวเก็บรังสีดวงอาทิตย์ในแบบแผ่นราวน์ในแนวระดับกับห้องฟ้า

$$T_{\text{sky}} = 0.0552 T_{\text{air}}^{1.5} \quad (2.20)$$

$$T_{\text{sky}} = T_{\text{air}} - 6 \quad (2.21)$$

เมื่อ

$T_{\text{sky}}$  คือ อุณหภูมิท้องฟ้า,  $^{\circ}\text{C}$

$T_{\text{air}}$  คือ อุณหภูมิอากาศ,  $^{\circ}\text{C}$

### 2.2.3 สัมประสิทธิ์การพาความร้อนเนื่องจากลม

การสูญเสียความร้อนจากแผ่นรานสู่อากาศภายนอก เป็นเรื่องที่ถือว่าสำคัญสำหรับตัวเก็บรังสีอาทิตย์ ในกรณีที่แพร่รังสีพลังงานแสงอาทิตย์นั้นมีล้มพัดผ่าน ค่าสัมประสิทธิ์การพาความร้อนเนื่องจากลมจะหาได้จากสมการคือ

$$h_w = 5.7 + 3.8v \quad (2.22)$$

เมื่อ

$h_w$  คือ สัมประสิทธิ์การพาความร้อนเนื่องจากลม,  $\text{W/m}^2 \cdot ^{\circ}\text{C}$

$v$  คือ ความเร็วของลม,  $\text{m/s}$

### 2.2.4 สัมประสิทธิ์การสูญเสียความร้อนของตัวเก็บรังสี

เพื่อให้สูตรการคำนวณปริมาณความร้อนอันเนื่องมาจากการแพร่รังสีมีรูปแบบง่าย จะใช้สมการเชิงเส้นในการคำนวณ ดังนี้ จึงมีการกำหนดค่าสัมประสิทธิ์การแพร่รังสี  $h_r$  เพื่อนำมาพิจารณาการแพร่รังสี

สัมประสิทธิ์การพาความร้อนระหว่างแผ่นรับพลังงานความร้อนกับแผ่นกระจก

$$h_{r,p-c} = \frac{\sigma(T_p^2 + T_c^2)(T_p + T_c)}{\frac{1}{\epsilon_p} + \frac{1}{\epsilon_c} - 1} \quad (2.23)$$

สัมประสิทธิ์การพาความร้อนระหว่างแผ่นกระจกกับแสงอาทิตย์

$$h_{r,c-s} = \epsilon_c \sigma(T_c^2 + T_s^2)(T_c + T_s) \quad (2.24)$$

## สัมประสิทธิ์การแพร่รังสีระหว่างแพลงงานแสงอาทิตย์กับแผ่นกระจก

$$h_{p-c} = \frac{(1 - 0.0018(\bar{T} - 10))1.14(\Delta T)^{0.31}}{1^{0.07}} \quad (2.25)$$

### การหาสัมประสิทธิ์การสูญเสียความร้อนรวม

$$U_t = \left[ \frac{1}{h_{p-c} + h_{r,p-c}} + \frac{1}{h_w + h_{r,c-s}} \right]^{-1} \quad (2.26)$$

เมื่อ

$U_t$	คือ	สัมประสิทธิ์การสูญเสียความร้อน, $\text{W/m}^2 \cdot ^\circ\text{C}$
$h_{p-c}$	คือ	สัมประสิทธิ์การแพร่รังสีระหว่างแพลงงานแสงอาทิตย์กับแผ่นกระจก $\text{W/m}^2 \cdot ^\circ\text{C}$
$h_{r,p-c}$	คือ	สัมประสิทธิ์การพาความร้อนระหว่างแพลงงานความร้อนกับแผ่นกระจก, $\text{W/m}^2 \cdot ^\circ\text{C}$
$h_{r,c-s}$	คือ	สัมประสิทธิ์การพาความร้อนระหว่างแผ่นกระจกกับแสงอาทิตย์, $\text{W/m}^2 \cdot ^\circ\text{C}$
$h_w$	คือ	สัมประสิทธิ์การถ่ายเทความร้อนโดยลม, $\text{W/m}^2 \cdot ^\circ\text{C}$
$T$	คือ	อุณหภูมิ, $^\circ\text{C}$
$\varepsilon_c$	คือ	ค่าการแพร่รังสี

### หมายเหตุตัวห้อ

r	คือ	การแพร่รังสี
p	คือ	แผ่นคุณลักษณะรังสี
c	คือ	ตัวเก็บรังสี, แผ่นปิดใส
w	คือ	ลม
s	คือ	ท้องฟ้า
a	คือ	อากาศแวดล้อม, คุณลักษณะ

### 2.2.5 สมการสมดุลแพลงงานบนตัวเก็บรังสีอาทิตย์แบบแผ่นราย

สมการของตัวเก็บรังสีคงออาทิตย์สามารถอธิบายได้โดยใช้หลักการสมดุลแพลงงานเมื่อพิจารณาที่สภาวะคงที่ ซึ่งจะเห็นได้จากการกระจายของแพลงงานรังสีอาทิตย์ในรูปการสูญเสียทางความร้อน และการสูญเสียเชิงแสง ของแพลงงานแสงอาทิตย์ซึ่งสามารถนำไปใช้ประโยชน์ได้

$$Q_u = A_c [F_R(\tau\alpha)I_T - F_R U_L(T_i - T_a)] \quad (2.27)$$

เมื่อ

$Q_u$	คือ	พลังงานความร้อนจากแสงอาทิตย์ที่ไปใช้ประโยชน์, $\text{W/m}^2 \cdot {}^\circ\text{C}$
$A_c$	คือ	พื้นที่ตัวรับรังสีดวงอาทิตย์, $\text{m}^2$
$U_L$	คือ	สัมประสิทธิ์การสูญเสียความร้อนรวมของตัวรับรังสี, $\text{W/m}^2 \cdot {}^\circ\text{C}$
$T_i$	คือ	อุณหภูมิของแผงรับรังสี, ${}^\circ\text{C}$
$T_a$	คือ	อุณหภูมิแวดล้อม, ${}^\circ\text{C}$

ประสิทธิภาพของแผงรับรังสีดวงอาทิตย์

$$\eta = \frac{\Sigma Q_u}{\Sigma I_T A_c} \quad (2.28)$$

เมื่อ

$Q_u$	คือ	ความร้อนที่ได้รับจากตัวรับรังสี, $\text{W/m}^2 \cdot {}^\circ\text{C}$
$A_c$	คือ	พื้นที่ของตัวรับรังสีทั้งหมด, $\text{m}^2$
$I_T$	คือ	ความเข้มของรังสีรวมที่ตกกระทบบนตัวรับรังสี, $\text{W/m}^2$

## 2.3 สมการณ์ตัวรับรังสีอาทิตย์

### 2.3.1 ค่าความร้อนที่ได้จากตัวรับรังสีอาทิตย์ [7]

ที่สภาวะคงตัว ค่าพลังงานความร้อนที่ได้จากแผงรับรังสี ในกรณีที่สารทำงานไม่มีการเปลี่ยนสถานะ ให้ได้จาก

$$Q_u = \dot{m} C_p (T_{fo} - T_{fi}) \quad (2.29)$$

เมื่อ

$\dot{m}$	คือ	อัตราการไหลเชิงมวล, $\text{kg/s}$
$C_p$	คือ	ค่าความจุความร้อนจำเพาะ, $\text{kJ/kg} \cdot {}^\circ\text{C}$
$T_{fo}$	คือ	อุณหภูมิของสารละลายที่ไหลออกจากการแผงรับรังสีอาทิตย์, ${}^\circ\text{C}$
$T_{fi}$	คือ	อุณหภูมิของสารละลายที่ไหลเข้าแผงรับรังสีอาทิตย์, ${}^\circ\text{C}$

ที่สภาวะคงตัวค่าพลังงานความร้อนที่ได้จากแผงรับรังสีสามารถหาได้จาก

$$Q_u = A_c F' [I_T (\tau\alpha)_e - U_L (T_{pm} - T_a)] \quad (2.30)$$

เมื่อ

$Q_u$	คือ	ค่าพลังงานความร้อนที่ได้จากแพลงรับรังสีอาทิตย์, $\text{W/m}^2$
$A_c$	คือ	พื้นที่รับรังสีอาทิตย์ของแพลงรับรังสีอาทิตย์, $\text{m}^2$
$U_L$	คือ	สัมประสิทธิ์การสูญเสียความร้อนรวมของแพลงรับรังสี, $\text{W/m}^2 \cdot ^\circ\text{C}$
$T_{pm}$	คือ	อุณหภูมิเฉลี่ยของผิวรับรังสีอาทิตย์, $^\circ\text{C}$
$I_T$	คือ	รังสีอาทิตย์ที่ตกลงบนแพลงรับรังสี, $\text{W/m}^2$
$T_a$	คือ	อุณหภูมิสิ่งแวดล้อม, $^\circ\text{C}$
$(\tau\alpha)_e$	คือ	ผลคูณประสิทธิ์ผลของค่าส่งผ่านและคุณค่าลินรังสี
$F'$	คือ	แฟกเตอร์ประสิทธิภาพของแพลงรับรังสีอาทิตย์

ในการปฏิบัติอุณหภูมิผิวคุณค่าลินรังสีอาทิตย์เฉลี่ย ( $T_{pm}$ ) วัดได้ยาก ดังนั้นจึงใช้วัดอุณหภูมิของของไอลทำงานเฉลี่ย ( $T_{fm}$ ) ในตัวรับรังสีแทน ดังสมการ

$$Q_u = A_c F' [I_T (\tau\alpha)_e - U_L (T_{fm} - T_a)] \quad (2.31)$$

โดยค่าแฟกเตอร์  $F'$  เป็นอัตราส่วนของพลังงานที่ได้จากแพลงรับรังสีอาทิตย์จริงต่อพลังงานที่ได้เมื่ออุณหภูมิผิวมีค่าเท่ากับอุณหภูมิของการไอลค่าแฟกเตอร์  $F'$  จึงเป็นตัวเลขที่ใช้ให้เห็นว่าการถ่ายเทความร้อนจากผิวรังสีอาทิตย์สู่ของไอลที่เกิดขึ้นได้เพียงใด ซึ่งจะมีค่าไม่เกิน 1 และในการปฏิบัติค่า ( $T_{fm}$ ) สามารถหาได้จาก

$$T_{fm} \cong (T_{fo} + T_f) / 2 \quad (2.32)$$

ในการนี้ที่ใช้อุณหภูมิของของไอลเข้ามาเป็นฐานในการวิเคราะห์ค่าอัตราความร้อนแพลงรับรังสีอาทิตย์จะอยู่ในรูปสมการ

$$Q_u = A_c F_R [I_T (\tau\alpha)_e - U_L (T_f - T_a)] \quad (2.33)$$

เมื่อ

$F_R$  คือ แฟกเตอร์คงความร้อน (heat removal factor)

โดยแฟกเตอร์คงความร้อน  $F_R$  เป็นอัตราส่วนความร้อนที่ได้รับจากแพลงรับรังสีอาทิตย์ต่อพลังงานความร้อนที่ถูกถ่ายเทออกคือความร้อนโดยของไอลที่ใช้งานในแพลงรับรังสีอาทิตย์ เมื่ออุณหภูมิของผิวแพลงรับรังสีอาทิตย์มีค่าเท่ากับอุณหภูมิของไอลที่เข้าแพลงรับรังสีอาทิตย์

### 2.3.2 ค่าประสิทธิภาพของแผงรับรังสีอาทิตย์ (Collector Efficiency)

ค่าประสิทธิภาพของแผงรับรังสีอาทิตย์ จะเป็นดัชนีที่ใช้บอกความสามารถในการเปลี่ยนพลังงานที่ได้จากแสงอาทิตย์ที่ตกกระทบแล้วเปลี่ยนเป็นพลังงานความร้อน ค่าประสิทธิภาพของแผงรับรังสีอาทิตย์คำนวณได้จาก

$$\eta_{th} = \frac{Q_u}{I_T A_c} \times 100 \quad (2.34)$$

$$= \frac{A_c F_R [I_T(\tau\alpha)_e - U_L(T_{fin} - T_a)]}{I_T A_c} \quad (2.35)$$

$$\eta_{th} = \frac{F_R (\tau\alpha)_e - F_R U_L (T_{fin} - T_a)}{I_T A_c} \quad (2.36)$$

## 2.4 การวิเคราะห์ระบบของเครื่องผลิตน้ำร้อนพลังงานแสงอาทิตย์

### 2.4.1 การคำนวณหาปริมาณความร้อนในถังเก็บน้ำร้อน

$$Q_s = m_{ws} \times C_{p,w} \times (T_{end,s} - T_{initial,s}) \quad (2.37)$$

เมื่อ

$Q_s$  คือ ปริมาณความร้อนที่ใช้ในถังเก็บน้ำร้อน, kJ

$m_{ws}$  คือ มวลของน้ำในถังเก็บน้ำร้อน, kg

$C_{p,w}$  คือ ค่าความร้อนจำเพาะของน้ำ, kJ/kg K

$T_{initial,s}$  คือ อุณหภูมิของน้ำที่เวลาเริ่มต้นภายในถังเก็บน้ำร้อน, °C

$T_{end,s}$  คือ อุณหภูมิของน้ำที่เวลาสุดท้ายภายในถังเก็บน้ำร้อน, °C

### 2.4.2 ประสิทธิภาพทางความร้อนของระบบผลิตน้ำร้อน

$$\eta_t = \frac{Q_s}{H_{tot}} \times 100 \quad (2.38)$$

เมื่อ

$Q_s$  คือ ปริมาณน้ำร้อนที่สะสมในถังเก็บน้ำร้อน, kJ

$H_{tot}$  คือ ผลรวมค่ารังสีที่ตกกระทบบนแผงรับรังสี, W/m<sup>2</sup>

## 2.5 เอทานอล

สารประกอบเอทานอลเป็นวัสดุใสไม่มีสี ติดไฟได้ เป็นสารเคมีอินทรีย์ที่หมักได้จากพืชในกลุ่มแป้งหรือน้ำตาล เอทานอลเป็นที่รู้จักกันในชื่อทั่วไปว่า เอทิลแอลกอฮอล์ มีสมบูรณ์ในสุราหรือเครื่องคิ่มที่ผสมแอลกอฮอล์ทุกชนิดที่ใช้บริโภค เอทานอลมีลักษณะและโครงสร้างเคมีคล้ายกับสารเคมีอินทรีย์อิกซันดหนึ่งคือ เมทานอล หรือเมทิลแอลกอฮอล์ แต่เมทิลแอลกอฮอล์สกัดจากการกลั่นวัสดุปีโตรเคมีและเป็นวัสดุที่มีพิษเมื่อนำมาบริโภคส่วนใหญ่ใช้ในอุตสาหกรรมที่ผลิตภัณฑ์ไม่นำมาบริโภคหรือมาใช้โดยตรงกับมนุษย์และสัตว์ มีปริมาณเอทานอลส่วนหนึ่งน้อย นอกจากได้จากการสังเคราะห์เอทานอล โดยกระบวนการเคมีเอทานอลในทางเคมีเป็นกลุ่มสารประกอบอินทรีย์มีสูตรทางเคมีคือ  $C_2H_5OH$  ประกอบด้วยคาร์บอน ไฮโดรเจน และออกซิเจน เป็นไฮดรอกซิล ดิริเวทิฟของไฮโดรคาร์บอนเกิดจากการแทนที่ไฮโดรเจนอะตอมด้วย hydroxyl group (OH) เอทานอลบริสุทธิ์ (anhydrous) มีจุดเดือดที่ 78 องศาเซลเซียล สมบัติโดยทั่วไปของเอทานอลซึ่งแสดงไว้ดังตารางที่ 2.1

ตารางที่ 2.1 สมบัติทั่วไปของเอทานอล [8]

Molecular formula	$C_2H_5OH$
Molar mass	46.07 g mol <sup>-1</sup>
Appearance	Colorless liquid
Density	0.789 g cm <sup>-3</sup>
Melting point	-114.3 °C , 159 K , -174 °F
Boiling point	78 °C , 352 K , 173 °F
Solubility in water	miscible
Acidity ( p $K_a$ )	15.9
Refractive index ( $n_D$ )	1.36 (25 °C)
Viscosity	1.200 cP (20 °C)
Dipole moment	1.69 D (gas)

## 2.6 การประเมินค่าทางด้านเศรษฐศาสตร์ [9]

การวิเคราะห์ความคุ้มค่าทางการลงทุนของเครื่องผลิตน้ำร้อนพลังงานแสงอาทิตย์แบบแผ่นเรียบโดยใช้เอทานอลเป็นสารแอลกอฮอล์เพื่อเปลี่ยนความร้อนสามารถทำได้โดยใช้วิธีการวิเคราะห์ต้นทุนรายปี (Uniform Annual Cost method) และการวิเคราะห์หาจุดคุ้มทุน (Break-even Point method) ดังนี้จะเป็นต้องรู้ข้อมูลพื้นฐานในการคิดคำนวณดังต่อไปนี้

1. กำหนดอายุการใช้งานเครื่องผลิตน้ำร้อน
2. เงินลงทุนในการสร้างเครื่องผลิตน้ำร้อนครั้งแรก (First cost)
3. อัตราดอกเบี้ยติดต่ออายุการใช้งาน (Rate of interest)
4. ค่าใช้จ่ายในการดำเนินการ และซ่อมบำรุงรักษา (Operating and Maintenance Costs)
5. ค่าไฟฟาราชี
6. รายได้ (Income)

### 2.6.1 การวิเคราะห์ต้นทุนรายปี (Uniform Annual Cost Method)

เป็นวิธีการแปลงค่าเงินทุกอย่างของโครงการให้มาอยู่ในรูปของค่าเงินรายปีอย่างสมมำтенso ซึ่งสามารถหาได้จากสมการดังนี้

$$R_1 = P \text{ (CRF)} \quad (2.39)$$

เมื่อ

$R_1$  คือ ราคาต้นทุนของเครื่องผลิตน้ำร้อนเป็นรายปี

$P$  คือ ค่าใช้จ่ายที่ใช้ในการผลิตน้ำร้อน

(CRF) คือ Capital Recovery Factor  $\left[ \frac{i(1+i)^n}{(1+i)^n - 1} \right]$

$$R_2 = S(SFF) \quad (2.40)$$

เมื่อ

$R_2$  คือ มูลค่าชากรายปี

$S$  คือ มูลค่าชาภก

SFF คือ Sinking-Fund Factor  $\left[ \frac{i}{(1+i)^n - 1} \right]$

$i$  คือ อัตราดอกเบี้ยรายปี (%)

$n$  คือ อายุการใช้งาน (ปี)

จากสมการที่ 1 และ 2 จะหาต้นทุนสุทธิรายปี ( $R$ ) จากสมการดังนี้คือ

$$R = R_1 - R_2 + \text{Operating Cost} \quad (2.41)$$

ถ้าให้  $V_w$  เป็นผลิตภัณฑ์ที่ได้จากการเครื่องผลิตน้ำร้อนโดยเฉลี่ยตลอดปี ดังนั้นราคาต้นทุนหาได้จากสมการดังนี้คือ

$$\text{ราคาน้ำหนักที่ใช้จ่ายในการดำเนินการเครื่องผลิตน้ำร้อน} = \frac{R}{V_w} \quad (2.42)$$

### 2.6.2 การวิเคราะห์หาจุดคุ้มทุน (Break - Even Point Method )

เป็นวิธีที่ใช้ในการคำนวณหาจำนวนปีที่คุ้มทุน (Break Even) ของเครื่องผลิตน้ำร้อน สามารถวิเคราะห์คำนวณหาระยะเวลาคุ้มทุน ได้จากสมการดังต่อไปนี้

เพื่อหา  $n$  ที่เป็นระยะเวลาที่หาค่าคุ้มทุนตามสมการดังต่อไปนี้

$$n = \frac{\ln E}{\ln(1+i)} \quad (2.43)$$

$$E = \frac{Si - X + Y}{Pi - X + Y} \quad (2.44)$$

เมื่อ

$X$  = เป็นเงินรายได้จากการผลิตน้ำร้อน

$Y$  = เป็นค่ารากน้ำดื่มน้ำที่ใช้จ่ายในการดำเนินการหรือต้นทุนในการผลิต  
เครื่องทำน้ำร้อน และซ่อมบำรุงรักษา

## 2.7 งานวิจัยที่เกี่ยวข้อง

จากรวัตตน์ เจริญจิต [10] ได้ทำการศึกษาการเลือกขนาดตัวเก็บรังสีอาทิตย์ในการกลั่นเอทานอล งานวิจัยนี้ได้ทำการออกแบบและสร้างเครื่องกลั่นเอทานอลด้วยพลาสติกและอะลูมิเนียม โดยการนำแพลงรับรังสีอาทิตย์แบบแผ่นราบขนาด 2.02 ตารางเมตร เป็นอุปกรณ์ทำน้ำร้อนส่งไปยังชุดท่อแลกเปลี่ยนความร้อนทองแดง เพื่อถ่ายโอนความร้อนให้สารละลายในถังกลั่นเอทานอล และทำการศึกษาพัฒนาแบบจำลองทางคณิตศาสตร์ของระบบ ผลการจำลองสถานการณ์เทียบกับการทดลองมีความคลาดเคลื่อนเฉลี่ยประมาณ 30 เปอร์เซ็นต์ นอกจากนี้พบว่า อัตราการกลั่นแปรผันตามความเข้มข้นเริ่มต้นของสารละลายและขนาดตัวเก็บรังสีอาทิตย์ แต่ผกผันกับความเข้มข้นของผลผลิตของเอทานอลที่กลั่นได้ โดยที่ต้นทุนจะขึ้นอยู่กับอัตราการกลั่นและขนาดของแพลง จากการจำลองสถานการณ์การกลั่นสารละลายเอทานอลความเข้มข้นเริ่มต้น 10 เปอร์เซ็นต์โดยบริมาตร จำนวน 4,500 ลูกบาศก์เซนติเมตร พบว่าพื้นที่รับแสงขนาดประมาณ 2.75 ตารางเมตร เหมาะกับการกลั่นสารละลายเอทานอลความเข้มข้นเริ่มต้น 10 เปอร์เซ็นต์ โดยต้นทุนต่ำสุดในช่วงพื้นที่รับรังสีอาทิตย์ประมาณ 1.5-2.5 ตารางเมตร โดยต้นทุนจะลดลงเมื่อกลั่นสารละลายเอทานอลที่มีความเข้มข้นเริ่มต้นสูงขึ้น

เกณม โพธิ์จัน [11] ได้ทำการศึกษาและออกแบบสร้างเครื่องทำน้ำร้อนพลังงานแสงอาทิตย์น้ำหนักเบาที่ใช้ในบ้านพักอาศัย มีขนาดพื้นที่คูดรังสีอาทิตย์ 2.727 ตารางเมตร และมีท่อน้ำเข้าน้ำออกทำจากท่อทองแดงยาว 3 เมตร โดยตัวเก็บรังสีอาทิตย์ทำมุนเยียง 14 องศาเซลเซียส กับแนวระดับและหันหน้าไปทางทิศใต้ ผลจากการทดลองพบว่า การทดสอบหาสมรรถนะของตัวเก็บรังสีอาทิตย์มีสภาพวงตัวค่า  $F_R(\tau\alpha)_e$  และ  $(F_R U_L)$  มีค่าเท่ากับ 0.4221 และ 5.7747  $W/m^2 \cdot ^\circ C$  โดยอุณหภูมน้ำในถังสะสมน้ำร้อนมีอุณหภูมิสูงพอที่จะทำน้ำร้อนเพื่อใช้งานได้ตลอดทั้งคืน และให้ค่าอุณหภูมิของน้ำร้อนที่ออกจากตัวเก็บรังสีอาทิตย์สูงกว่า 100 องศาเซลเซียส ซึ่งสูงกว่าอุณหภูมน้ำในถังสะสมน้ำร้อนซึ่งสามารถทำน้ำร้อนได้ระบบทำน้ำร้อนนี้ใช้เงินลงทุนขั้นต้นเท่ากับ 14,878 และ 25,044.52 บาท เงินลงทุนเทียบเท่ารายปีเท่ากับ 4,284.63 และ 7,186.84 บาทต่อปี ต้นทุนพลังงานที่ผลิตได้เท่ากับ 2.49 และ 3.801 บาท/kWh. และระยะเวลาที่คุ้มทุน เท่ากับ 2.57 และ 3.93 ปี ตามลำดับ

พิชัย นามประกาย [12] ได้ทำการศึกษาการถ่ายเทความร้อนและมวลในเครื่องกลั่นสาระลายแอลกอฮอล์โดยใช้พลังงานแสงอาทิตย์ ชุดทดลองมีผิวระเหยอยู่ในแนวนอน มีผิวกลั่นตัวเป็นกระจกฝาปิดอุ่นด้านเดียวเป็นมุน 5-6 องศา มีการปรับค่าอุณหภูมิที่ผิวระเหยให้คงที่โดยอาศัยน้ำร้อนที่ได้รับพลังงานจากดวงไฟฟ้าไฮโลผ่านทางด้านใต้ของชุดทดลอง ส่วนที่ผิวกลั่นตัวได้รับการปรับอุณหภูมิให้คงที่ เช่นกัน โดยมีน้ำเย็นจากแหล่งเก็บไฮโลผ่าน โดยเฉลี่ยได้อัตราการกลั่นมีค่าอยู่ระหว่าง 2.4 – 4  $L/m^2 \cdot d$

ชาญวิทย์ วุฒิวงศานนท์ [13] ได้ทำการศึกษาออกแบบและสร้างแพงรับรังสีแบบแผ่นเรียบให้มีราคาประหยัด โดยนำชุดระบายน้ำความร้อนของระบบปรับอากาศชนิดมาประยุกต์เป็นตัวคูดรังสี ชุดระบายน้ำความร้อนแต่ละตัวมีขนาด  $0.35 m \times 0.53 m$  จำนวน 10 แผง นำมาต่อเป็นแบบอนุกรมและแบบขนานร่วมกัน โดยต่อแบบขนาน 2 แผง ซึ่งแต่ละແຄวจะมีชุดระบายน้ำความร้อนต่อแบบอนุกรมແຄวละ 5 แผง ขนาดพื้นที่รับรังสีที่ทำการทดสอบ 2.46 ตารางเมตร การทดสอบสมรรถนะของแพงรับรังสีข้างต้นมีสภาพวงตัว โดยใช้อัตราการไฮโล 0.02 กิโลกรัมต่อวินาทีต่อตารางเมตร จะแบ่งออกเป็น 2 กรณี ดังนี้ กรณีที่ 1 ทำการทดสอบกกลางแจ้ง โดยใช้มาตรฐาน ASHARE 93-77 กรณีที่ 2 ทำการทดสอบกกลางแจ้ง โดยใช้น้ำเย็นป้อนเข้าผสมในช่วงที่ต้องนุ่มนวลของชุดระบายน้ำความร้อนตัวที่ 2 กับ 3, 3 กับ 4 และ 4 กับ 5 ที่อัตราการไฮโล 10 เปอร์เซ็นต์ ของอัตราการไฮโลที่ออกแบบแพงรับรังสีตามลำดับ จากผลการทดสอบสมรรถนะกรณีที่ 1 พบว่า มีค่า  $F_R(\tau\alpha)_e = 0.693$  และค่า  $F_R U_L = 7.1764 W/m^2 \cdot ^\circ C$  ค่าความดันแตกต่างในแพงรับรังสีมีค่าประมาณ 174.75 kPa จากผลการทดสอบสมรรถนะกรณีที่ 2 พบว่า มีค่า  $F_R(\tau\alpha)_e$  และค่า  $F_R U_L$  ของตัวที่ 2 กับ 3 มีค่าประมาณ 0.6984 และ 6.8086  $W/m^2 \cdot ^\circ C$  ค่า  $F_R(\tau\alpha)_e = 0.693$  และค่า  $F_R U_L$  ของตัวที่ 3 กับ 4 มีค่าประมาณ 0.6971 และ 6.7649  $W/m^2 \cdot ^\circ C$  ค่า  $F_R(\tau\alpha)_e$  และ  $F_R U_L$  ของตัวที่ 4 กับ 5 มีค่าประมาณ 0.6935 และ 6.7630  $W/m^2 \cdot ^\circ C$  ซึ่งจะ

เห็นได้ว่าการป้อนน้ำเย็นเข้าผสมในແຜງຮັບຮັງສີຈະທຳໄຫ້ຄ່າສັນປະສິບກົດສູງເສີຍຄວາມຮ້ອນຮົມລດລົງຈຶງທຳໄຫ້ສມຽດນະສູງຂຶ້ນ ນອກຈາກນີ້ມີການຄໍານວາພຸລາຈາກແນບຈຳລອງທາງຄົມືຕາສຕ່ຣ ເພື່ອທຳການເປີຍໃຫຍນອັດຕາການໄຫລຂອງນ້ຳເຢັ້ນທີ່ປ້ອນເຂົ້າຕົວດັງສີຕົວທີ່ 2 ກັບ 3 , 3 ກັບ 4 ແລະ 4 ກັບ 5 ທີ່ 5,10,15 ແລະ 20 ເປົ້ອເຊັ່ນຕີ່ ຂອງອັດຕາການໄຫລທີ່ອອກຈາກແຜງຮັບຮັງສີ ຈາກພຸລາກາຄໍານວາພົບວ່າ ການນໍານ້ຳເຢັ້ນປ້ອນເຂົ້າຕົວດັງສີຕົວທີ່ 2 ກັບ 3 ທີ່ອັດຕາການໄຫລ 10 ເປົ້ອເຊັ່ນຕີ່ ດີກູດ ຈາກການສຶກຂາແນບຈຳລອງທາງຄົມືຕາສຕ່ຣ ໃນການເປີຍໃຫຍນປະສິບກົດປອບປະນົມທີ່ພົມໄດ້ ແລະ ຮະຍະເວລາເກື່ນຖຸນຂອງຮະບນທຳນໍາຮ້ອນທັງ 3 ຮະບນ ໂດຍຮະບນທີ່ 1 ໃຊ້ແຜງຮັບຮັງສີທີ່ທຳການທົດສອບການທີ່ 1 ຮະບນທີ່ 2 ໃຊ້ແຜງຮັບຮັງສີທີ່ນໍານ້ຳເຢັ້ນປ້ອນເຂົ້າຕົວດັງສີຕົວທີ່ 2 ກັບ 3 ທີ່ອັດຕາການໄຫລ 10 ເປົ້ອເຊັ່ນຕີ່ ຂອງອັດຕາການໄຫລທີ່ອອກຈາກແຜງຮັບຮັງສີ ແລະ ຮະບນທີ່ 3 ໃຊ້ແຜງຮັບຮັງສີແບບແຜ່ນເຮີຍທີ່ພົມທາຍໃນປະເທດ ຈາກການເປີຍໃຫຍນພົບວ່າ ສມຽດນະຂອງຮະບນທີ່ 1,2 ແລະ 3 ມີຄ່າປະມາມານ 37.32,38.73 ແລະ 34.62 ເປົ້ອເຊັ່ນຕີ່ ຕັ້ນຖຸນພັບຈາກທີ່ພົມໄດ້ຂອງຮະບນທີ່ 1,2 ແລະ 3 ມີຄ່າປະມາມານ 2.98,2.96 ແລະ 5.07 ນາທ/kWh ຮະຍະເວລາເກື່ນຖຸນຂອງຮະບນທີ່ 1,2 ແລະ 3 ມີຄ່າປະມາມານ 3.06,3.05 ແລະ 5.24 ປີ

ປີປະ ຍື້ນບຸນທຸດ [14] ໄດ້ທຳການສຶກຂາວິຈີຍເຮືອງເຄື່ອງອນແໜ່ງພົມທາງການເກຍຕຣ ໂດຍໃຊ້ພັບຈາກແສງອາທິດຍ໌ ຈານວິຈີຍນີ້ເປັນການສຶກຂາກະບວນກາຮອນແໜ່ງພົມທາງການເກຍຕຣ ໂດຍການນໍາພັບຈາກແສງອາທິດຍ໌ມາໃຫ້ໃນກະບວນກາຮ້ອນຈຳກົດກັນທີ່ ໂດຍສ້າງເຄື່ອງອນແໜ່ງໜິດຕູ້ໜາດ 45x70 ເຊັນຕີເມຕຣ ສູງ 75 ເຊັນຕີເມຕຣ ມີແຜງຮັບພັບຈາກແສງອາທິດຍ໌ຈຳນວນ 2 ແພ ເພື່ອຮັບພັບຈາກຄວາມຮ້ອນຈາກແສງອາທິດຍ໌ໂດຍມີນໍາເປັນສາຮຕັກລາງໃນການພາກວານຮ້ອນທີ່ແຜງຮັບພັບຈາກແສງອາທິດຍ໌ໄປຢັງອຸປະກອນແລກປັບປຸງຄວາມຮ້ອນກາຍໃນຕູ້ອນ ເພື່ອເພີ່ມອຸນຫຼຸມໃຫ້ກັບພົມທັນທີ່ ໂດຍອາກະຈະຮັນເອາຄວາມຮ້ອນຈາກອຸປະກອນແລກປັບປຸງຄວາມຮ້ອນໄຫລຜ່ານພົມທັນທີ່ທີ່ວາງນັ້ນ ຜົ່ງອົກແບບໃຫ້ເກີດກາໄຫລຂອງອາກາສແຕ່ລະໜັ້ນອ່າງສົ່ນໆສ່ວນອ ອຸນຫຼຸມກາຍໃນຕູ້ອນຈະອູ້ຢູ່ໃນຊ່ວງ 55-62 ອົງສາເຊລເຊີຍສ ໂດຍຮະຍະເວລາໃນກາຮອນຈະໜັ້ນອ່າງກັນຄວາມໜານແລະ ຄວາມໜັ້ນຂອງພົມທັນທີ່ ສໍາຮັບພົມທາງການເກຍຕຣ ທີ່ໃຫ້ອົບແໜ່ງມີ ເນື້ອປາຕະເພີນສົດແລ່ລົ່ວມື້ນີ້ມີຄວາມໜານໄມ່ເກີນ 1 ເຊັນຕີເມຕຣ, ພຣິກສດ, ເສັ້ນໜີແລະ ຂ້າງເກີຍນ ດ້ວຍຄວາມໜັ້ນຂອງພົມທັນທີ່ 18 ເປົ້ອເຊັ່ນຕີ່

ພັນຈຸກົມ ດຸມຖື ແລະ ຄະນະ [15] ທຳການອົກແບບແລະ ພັດນາເຄື່ອງອນແໜ່ງພົມໄມ້ໂດຍໃຊ້ພັບຈາກແສງອາທິດຍ໌ເປັນພັບຈາກເສຣິມທຳການທົດສອບສມຽດນະຂອງຕູ້ອນແໜ່ງ ໂດຍໃຊ້ກຳລັວນ້ຳວ້າເປັນວັສດຸອນແໜ່ງພົບວ່າ ເນື້ອເພີ່ມອັດຕາການໄຫລຈຳພາບຂອງອາກາສ ຄວາມສິ້ນປັບປຸງພັບຈາກຈຳພາບຈະລດລົງຄົງອັດຕາການໄຫລຈຳພາບຄ່າໜັງແລ້ວ ເນື້ອເພີ່ມຕ່ອງໄປຄວາມສິ້ນປັບປຸງພັບຈາກຈຳພາບຈະພົມໜັ້ນ ແລະ ເນື້ອອັດຕາສ່ວນຂອງອາກາສເວີຍນກັນພົມໜັ້ນ ຄວາມສິ້ນປັບປຸງພັບຈາກຈຳພາບຈະລດລົງ ອຸນຫຼຸມຂອງກຳລັວຍອນແໜ່ງຈະດີທີ່ສຸດທີ່ອຸນຫຼຸມອາກາສອນແໜ່ງໄມ່ເກີນ 60 °C ສໍາຮັບແນວທາງກາຮອນແໜ່ງທີ່ເໜັນສົມ ຜົ່ງໄດ້ຈາກແບບຈຳລອງທາງຄົມືຕາສຕ່ຣ ອັດຕາການໄຫລຈຳພາບຂອງອາກາສປະມາມານ 10.5 ກີໂໂກຮັນອາກາສ

แห่งต่อชั่วโมงต่อ กิโลกรัม ก้าวเที่ยง อัตราส่วนเวียนกลับร้อยละ 90-95 จากการวิเคราะห์ เศรษฐศาสตร์พบว่า จุดคุ้มทุนเฉพาะส่วนตัวรับรังสีมีค่า 0.76 ปี และ โดยเฉลี่ยประจำเดือนไปฟื้น ของด้วนอุ่นอากาศได้ร้อยละ 33

ชาญ เสนินยันนท์ [16] ได้ศึกษาวิจัยเรื่องการประเมินสมรรถนะของ ракพาราโนบลิก ติดตามดวงอาทิตย์ งานวิจัยนี้เป็นการศึกษาความเป็นไปได้เพื่อนำความร้อนที่ได้จากการรวมแสง โดยตัวรับแสงแบบ rakpara noblิกมาใช้ประโยชน์ ракพาราโนบลิกมีขนาดกว้าง 2.13 เมตร ยาว 3 เมตร แผ่นสะท้อนแสงเป็นแผ่นเหล็กกล้าไร้สนิม ท่อคุณแสงใช้ท่อเหล็กสำหรับไอน้ำขนาด มิลลิเมตรและใช้น้ำมันเป็นสารทำงานในระบบ ผลจากการวิเคราะห์ทางเศรษฐศาสตร์ อยู่การใช้งานได้ 15 ปีซึ่งจากข้อดีและข้อเสียของงานวิจัยต่างๆ นี้ จึงได้นำมาเปรียบเทียบและปรับปรุงในการวิจัยและพัฒนาตู้อบแห้งชนิดการพากความร้อนแบบบังคับโดยใช้พลังงานแสงอาทิตย์ เพื่อลดระยะเวลาจากวิธีเดิมโดยการนำผลิตภัณฑ์สัตว์น้ำทางทะเลมาตากแดด มาเป็นตู้อบแห้งชนิดการพากความร้อนแบบบังคับโดยใช้พลังงานแสงอาทิตย์ โดยสามารถอบปลาหมึกได้ครั้งละ 6 กิโลกรัม (70 ตัว) หลังจากทำการอบแห้งโดยพลังงานแสงอาทิตย์ จะทำให้ความชื้นครั้งสุดท้ายลดลงเหลือประมาณ 15% โดยที่ภายในตู้อบแห้งมีอุณหภูมิ 60 °C และใช้เวลาในการอบแห้งปลาหมึกนี้แค่เวลา 5 ชั่วโมง การอบแห้งด้วยวิธีนี้มีต้นทุนต่ำและมีระบบไม่ซับซ้อน ในการอบแห้งด้วยวิธีนี้จะใช้อุณหภูมิต่ำที่สามารถรักษาคุณภาพของผลิตภัณฑ์หลังการอบแห้งได้ดี การทดสอบของผลิตภัณฑ์มีน้อย ส่วนคุณค่าของสารอาหารหลังการอบแห้งก็ยังคงเดิมและสะอาดดูดีสุขลักษณะ ปลอดภัยในการใช้งานและทำการบำรุงรักษาได้ดี

วิชัย จันทร์กษา [17] ได้ศึกษาและพัฒนาเครื่องอบแห้งตะไคร้พลังงานแสงอาทิตย์ ได้ทำการวิจัยและพัฒนาเครื่องอบแห้งตะไคร้พลังงานแสงอาทิตย์ โดยเครื่องอบแห้งดังกล่าวประกอบด้วยแพร์ริงรังสีดวงอาทิตย์แบบแผ่นร้าน กลุ่มด้วยพลาสติกมีขนาดพื้นที่รับแสง 19 ตารางเมตรและตู้อบตะไคร้ขนาดความจุ 400 กิโลกรัม อากาศจากแพร์ริงรังสีดวงอาทิตย์จะถูกเปลี่ยนไปในตู้อบแห้งโดยอาศัยพัดลมดูดอากาศ ผู้วิจัยได้ทดสอบสมรรถนะที่พัฒนาขึ้นโดยใช้เครื่องอบแห้งดังกล่าวทำการอบแห้งตะไคร้จำนวน 4 ครั้ง ๆ 200 กก. ผลที่ได้พบว่าช่วงที่ห้องฟ้าแจ่มใสเครื่องอบแห้งสามารถอบตะไคร้ให้แห้งได้ภายในเวลา 3 วัน ตะไคร้ที่อบแห้งไม่ถูกburn กวนโดยแมลง ผุ่นละออง และฝุ่น ผู้ทำการวิจัยได้นำตะไคร้มาทำการอบโดยวิเคราะห์คุณภาพ จากผลการวิเคราะห์พบว่าปริมาณน้ำของตะไคร้และสีของตะไคร้ที่ได้จากการอบแห้งมีค่าคุณภาพสอดคล้องกับคุณภาพของตะไคร้ซึ่งใช้ในอุตสาหกรรมจากการวิเคราะห์ทางเศรษฐศาสตร์พบว่าเครื่องอบแห้งดังกล่าวมีเวลาคุ้มทุนเท่ากับ 1 ปี 5 เดือน

ทวีัพันธ์ สุภารส [18] ได้ทำการวิจัย สมรรถนะทางความร้อนของระบบก๊อกเก็บพลังงานในรูปความร้อนสัมผัสเพื่อใช้เป็นพลังงานเสริมในการอบแห้งระหว่างกระบวนการประจุความร้อนและ

กระบวนการดึงความร้อนโดยใช้กรดเป็นวัตถุสะสมพลังงาน พบว่า อุณหภูมิเฉลี่ยสูงสุดของระบบเท่ากับ  $65^{\circ}\text{C}$  สำหรับกระบวนการประจุความร้อนใช้เวลา 7 ชั่วโมง และอุณหภูมิต่ำสุดของระบบ  $35^{\circ}\text{C}$  สำหรับกระบวนการดึงความร้อน 10 ชั่วโมง ปริมาณพลังงานความร้อนสัมผัส สัมประสิทธิ์การถ่ายเทความร้อนรวมขึ้นอยู่กับอัตราการไหลด อุณหภูมิของน้ำมันถ่ายเทความร้อน โดยที่ระบบมีประสิทธิภาพสูงสุดตามกฎข้อที่หนึ่งของอุณหพลศาสตร์คือ 60 %

ชาญวิทย์ อุดมศักดิ์กุล [19] ได้ศึกษาวิจัยและพัฒนาเครื่องฟักไช่พลังงานแสงอาทิตย์ จากการวิจัยพบว่าการทำงานของเครื่องฟักไช่พลังงานแสงอาทิตย์ต้นแบบขนาดบรรจุ 720 ฟอง พบว่าให้ประสิทธิภาพในการแผลเปลี่ยนความร้อน 33% ประสิทธิภาพของเครื่องทำน้ำร้อนก่อนที่จะนำน้ำร้อนไปใช้งานเท่ากับ 35% ประสิทธิภาพของเครื่องทำน้ำร้อนไปใช้งานการฟักไช่เฉลี่ย 23.9% ที่อุณหภูมิของน้ำร้อนใช้งาน  $50-70^{\circ}\text{C}$  ผลการทดสอบแพงเซลล์แสงอาทิตย์ พบร้า ที่ความเข้มรังสีอาทิตย์ประมาณ  $100 \text{ W/m}^2$  ประสิทธิภาพของเซลล์แสงอาทิตย์ประมาณ 4% ที่อุณหภูมิแพงเซลล์  $31^{\circ}\text{C}$  และความเข้มรังสีอาทิตย์มีค่ามากกว่า  $400 \text{ W/m}^2$  ประสิทธิภาพของเซลล์แสงอาทิตย์จะคงที่ประมาณ 6% ที่อุณหภูมิแพงเซลล์  $45^{\circ}\text{C}$

จงจิตร์ หิรัญลักษณ์ [20] ได้ทำการทดลองและพัฒนาเครื่องทำน้ำร้อนโดยใช้ห่อ PVC มีความยาว 1500 มิลลิเมตร ระยะห่างห่อ 51 มิลลิเมตร ขนาดเส้นผ่านศูนย์กลาง 40 มิลลิเมตร จำนวน 13 ห่อ และทาสีดำ เพื่อใช้ในระบบเครื่องทำน้ำร้อนด้วยพลังงานแสงอาทิตย์ และใช้ถังสะสมความร้อนมีความจุของน้ำ 35 ลิตร ซึ่งเมื่อมีการใช้น้ำร้อน น้ำเย็นจะไหลดเข้าแทนที่ การทดสอบที่ตำแหน่งต่างกัน 2 ตำแหน่ง คือ ติดตั้งบนผนังของบ้านหันหน้าไปทางทิศตะวันตกเฉียงใต้ และติดตั้งบนหลังคาบ้านหันไปทางทิศใต้ โดยใช้กระเบื้องแผ่นเรียบและกระเบื้องหลังคา เป็นแผ่นรับรังสีอาทิตย์ และสะสมความร้อนติดตั้งที่ด้านหลังมีความหนา 6 มิลลิเมตร และปิดฝาพลาสติกใสจะได้ขนาดของเครื่องทำน้ำร้อน เท่ากับ  $1450 \times 1600 \times 120$  มิลลิเมตร จากการทดสอบพบว่าแบบห่อวงบันกระเบื้องหลังคาที่มีฝาพลาสติกใส สามารถทำอุณหภูมิได้ถึง  $72^{\circ}\text{C}$  ในขณะที่ห่อแนวตั้งที่มีกระเบื้องแบบแผ่นเรียบและมีฝาพลาสติกใส ทำอุณหภูมิได้  $65^{\circ}\text{C}$

ศรีพงษ์ ศรีรัตน์ [21] ได้สร้างแบบจำลองทางคณิตศาสตร์ของเครื่องกลั่นน้ำและผลิตเกลือด้วยพลังงานแสงอาทิตย์ โดยมีผิวกลั่นตัวเป็นกระจกเอียงด้านเดียว เปิด - ปิด ได้เอียงทำมุม 17 องศา กับแนวระดับ มีพื้นที่ผิวที่ใช้ในการดูดกลืนพลังงานแสงอาทิตย์ขนาด  $1 \text{ m}^2$  ด้านล่างหุ้มด้วยผ้าวนาย แก้ว หนา 55 mm. ผลการวิจัยเปรียบเทียบจากแบบจำลองทางคณิตศาสตร์กับผลที่ได้จากการทดลองมีค่าคลาดเคลื่อนดังนี้ อัตราการกลั่นน้ำมีค่าคลาดเคลื่อนประมาณ 8.53% อุณหภูมน้ำในเครื่องกลั่นมีค่าคลาดเคลื่อนประมาณ 2.44% อุณหภูมิกระจกมีค่าคลาดเคลื่อนประมาณ 3.69% และปริมาณของเกลือ

มีค่าค่าด้วยเกลือในประมาณ 2.5% และที่ปริมาณน้ำเกลือที่ใช้ในการทดลอง 2,000 cc., 3,000 cc. และ 4000 cc. พบว่าปริมาณน้ำเกลือที่ใช้ในการทดลอง 3,000 cc. มีประสิทธิภาพสูงสุด การกลั่นน้ำเกลือ ประกอบด้วยน้ำและเกลือ เมื่อสารละลายได้รับความร้อนจะมีแต่น้ำเท่านั้นที่ถ่ายเป็นไอ ไอน้ำจะควบแน่นได้ของเหลวคือน้ำกลั่นบริสุทธิ์ แต่เกลือยังคงอยู่ในสารละลายจึงทำให้สามารถแยกน้ำกับเกลือออกจากกันได้ ปริมาณน้ำกลั่นเท่ากับ 1,749 cc. ค่าเฉลี่ยเท่ากับ 58.3% ปริมาณเกลือเท่ากับ 1,060 กรัม ค่าเฉลี่ยเท่ากับ 35.33% ความเข้มของแสงอาทิตย์เท่ากับ  $734.7 \text{ W/m}^2$  ค่าเฉลี่ยเท่ากับ  $534 \text{ W/m}^2$  ผลรวมคิดเป็น 93.63% การสูญเสีย 6.37%

พิระ วิจัติกะ [22] ได้ออกแบบและสร้างระบบอบแห้งพลังงานแสงอาทิตย์ร่วมกับระบบกักเก็บ พลังงานความร้อนในการอบแห้งแห่นยางพารา ระบบประกอบด้วยแพลงรับรังสีสุริยะแบบแผ่นราบขนาด  $2.64 \text{ m}^2$  และระบบกักเก็บพลังงานความร้อนขนาด  $0.19 \text{ m}^2$  บรรจุหินเกรนนิตปริมาณ 75 kg. ใช้น้ำมันถ่ายเทความร้อนเป็นสารทำงานในระบบ การทดลองแบ่งเป็น 2 สภาพ คือ (1) กลางวันน้ำมันถ่ายเทความร้อนปรับตั้งอัตราการไหล 4,6 และ 8 LPM ไอลหมุนเวียนผ่านแพลงรับรังสีสุริยะ เพื่อแลกเปลี่ยนความร้อนกับพลังงานแสงอาทิตย์ไปใช้อ่อนแห้งแห่นยางพาราจำนวน 5 แผ่น ภายในตู้อบแห้ง ความร้อนที่เหลือจากการอบแห้งถูกนำไปเก็บสะสมในรูปความร้อนสัมผัสภัยในถังกักเก็บ พลังงานความร้อน (2) กลางคืนน้ำมันถ่ายเทความร้อนไอลหมุนเวียนระหว่างตู้อบแห้งและถังกักเก็บ พลังงานความร้อนเพื่อดึงความร้อนจากหินเกรนนิตไปใช้อ่อนแห้ง จากผลการทดลองพบว่า อุณหภูมิของน้ำมันที่ออกจากการตัวรับรังสีแบบแผ่นเรียบมีค่าอยู่ระหว่าง  $50 - 80^\circ\text{C}$  อุณหภูมิเฉลี่ยภายในตู้อบแห้ง มีค่าระหว่าง  $40 - 70^\circ\text{C}$  และค่าความชื้นสูดท้ายของยางพาราที่อบแห้งด้วยระบบนี้มีค่า  $10.5 \% \text{ db.}$  ซึ่งอยู่ในเกณฑ์มาตรฐานในการซื้อขาย ระบบมีประสิทธิภาพเฉลี่ยเท่ากับ 65.18% และมีระยะเวลาคืนทุน 2.88 ปี สำหรับยางพารา 5 แผ่น และ 1.35 ปี สำหรับยางพารา 7 แผ่น

กฤษณะ แก้วมณี [23] ได้ทำการศึกษาระบบการกลั่นของเครื่องกลั่นอุตสาหกรรมจากวัสดุเหลือใช้ทางการเกษตรด้วยพลังงานแสงอาทิตย์โดยมีแพลงรับรังสีชนิดแผ่นเรียบกระชับเดียวอุ่น 15 องศา หันหน้าไปทางทิศใต้ โดยใช้แพลงคอนเดนเซอร์เป็นตัวรับความร้อนจำนวน 4 แผง ต่อ กับแบบอนุกรม แพลงรับรังสีมีขนาดพื้นที่  $0.742 \text{ ตารางเมตร}$  เพื่อเปลี่ยนพลังงานแสงอาทิตย์เป็นพลังงานความร้อน ให้แก่สารละลายอุตสาหกรรมโดยมีสารละลายอุตสาหกรรมเป็นสารตัวกลางในการพากความร้อนที่แพลงรับ พลังงานแสงอาทิตย์ได้รับ ไปสะสมความร้อนในหม้อต้ม สารละลายเมื่อได้รับความร้อน อุณหภูมิถึงจุดเดือดก็จะระเหยและมีไอของอุตสาหกรรม ไอดังกล่าวจะเคลื่อนตัวสู่ห้องกลั่นจะถูกนำไปควบแน่นที่อุปกรณ์ควบแน่นระบายน้ำความร้อนด้วยน้ำ จนกระทั่งไอถูกถ่ายเป็นของเหลว จากผลการทดลองพบว่า ในช่วงเวลา 12.00 น.- 13.00 น. เป็นช่วงที่อัตราการกลั่นตัวของสารละลายอุตสาหกรรมลดลงสูงสุด หลังจากนั้นอัตราการกลั่นจะมีค่าคงที่ ลดลงตามค่ารังสีอาทิตย์โดยปริมาณของอุตสาหกรรมที่กลั่นໄດ่มีดังนี้ (1)

ตลอดวัน ได้สูงสุด 0.4 ลิตร/วัน (2) ากน้ำตากลั่น ได้สูงสุด 0.15 ลิตร/วัน (3) ากมันสำปะหลัง กลั่น ได้สูงสุด 0.2 ลิตร/วัน และสารละลายนอกที่กลั่น ได้มีความเข้มข้นเฉลี่ย 38-40 เปอร์เซ็นต์

ทฤษฎี กีรติศิริ โภจน์ และคณะ [24] ได้ทำการทดลองกลั่นเอทานอลด้วยตัวรับรังสีแบบแผ่นราบ โดยตัวรับรังสีแบบแผ่นราบ ได้ถูกนำมาใช้เพื่อเปลี่ยนพลังงานแสงอาทิตย์เป็นพลังงานความร้อนให้แก่แอลกอฮอล์ที่ต้องการเพิ่มเปอร์เซ็นต์ความเข้มข้น ตัวรับรังสีมีขนาดพื้นที่ 1.9 ตารางเมตร ประกอบด้วยกระชองสองชั้น มีแผ่นดูดกลืนรังสีเป็นแผ่นทองแดงและอลูมิเนียม มีน้ำมันเป็นตัวส่งถ่ายความร้อน คือ น้ำมันที่ทนต่ออุณหภูมิสูง โดยแอลกอฮอล์ 10 ลิตร เติมเพียงครึ่งเดียวมีความเข้มข้นเริ่มต้น 10 เปอร์เซ็นต์ โดยเฉลี่ยด้วยอัตรา 0.5 ลิตรต่อตารางเมตรต่อวัน